

# Systèmes Hamiltoniens à Ports

avec approche par composants  
pour la simulation à passivité garantie  
de problèmes conservatifs et dissipatifs

T. Hélie, A. Falaize et N. Lopes

Laboratoire des Sciences et Technologies de la Musique et du Son,  
IRCAM-CNRS-UPMC, 1 place Igor Stravinsky, 75004 Paris.  
*{thomas.helie,antoine.falaize,nicolas.lopes}@ircam.fr*

Projet ANR Hamecmopsys (<https://hamecmopsys.ens2m.fr/>)

CSMA 2015 - Giens, Mai 2015

# Systèmes Hamiltoniens à Ports (SHP): Motivations

## 1. Modélisation de systèmes dynamiques ouverts

- linéaires ou non linéaires
- multi-physiques (*mécanique, acoustique, électronique, etc*)
- bilan de puissance: phénomènes **conservatifs** (*énergie stockée*), phénomènes **dissipatifs** (*puissance dissipée*), interagissant avec le milieu **extérieur** via des ports d'interaction (*puissance externe*)

## 2. Simulation à passivité garantie:

- préservation du bilan de puissance en temps discret
  - structuration en parties **conservatives**, **dissipatives** et **externes**
- 
- Comportement énergétique et stabilité numérique préservés pour tout régime (auto-oscillation, chaos, etc)
  - Applications en contrôle (fct. d'énergie  $\equiv$  fct. de Lyapunov)

# Laboratoire STMS et applications des SHP

## L'IRCAM: Institut de Recherche et Coordination Acoustique/Musique



<http://www.ircam.fr>

- **Création** en 1971 par Pierre Boulez
- **Vocation:** interaction entre recherche scientifique, développement technologique et création musicale
- **Laboratoire** (UMR9912, IRCAM-CNRS-UPMC): Sciences et Technologies de la Musique et du Son

## Les SHP appliqués aux *Systèmes et Signaux Sonores* (Equipe S3)

Instruments (auto-oscillants)



Electro-acoustique



Electronique



→ Modélisation, Synthèse sonore temps-réel, Optimisation et Contrôle

# Plan

- 1 Motivations
- 2 Systèmes Hamiltoniens à Ports
- 3 Schéma numérique
- 4 Résultats
- 5 Conclusion
- 6 (Supplément)

# Systèmes Hamiltoniens à Ports

Formulation classique

(van der Shaft et Jeltsema, 2014)

$$\begin{cases} \frac{dx}{dt} &= (J(x) - R(x)) \nabla H(x) + G(x)u \\ y &= G(x)^T \nabla H(x) \end{cases}$$

- $u(t) \in \mathbb{R}^P$ : entrée,  $x(t) \in \mathbb{X} = \mathbb{R}^N$ : état,  $y(t) \in \mathbb{R}^P$ : sortie
- Energie totale:  $E(t) = H(x(t))$  avec  $H \in \mathcal{C}^1(\mathbb{X}, \mathbb{R}^+)$  définie positive
- Matrices:  $J = -J^T$  anti-symétrique et  $R = R^T$  positive

Bilan de puissance

$$\frac{dE}{dt} = \nabla H(x)^T \frac{dx}{dt} = \underbrace{\nabla H(x)^T J(x) \nabla H(x)}_{P_c=0} - \underbrace{\nabla H(x)^T R(x) \nabla H(x)}_{Q \geq 0} + \underbrace{y^T u}_{P_{\text{ext}}}$$

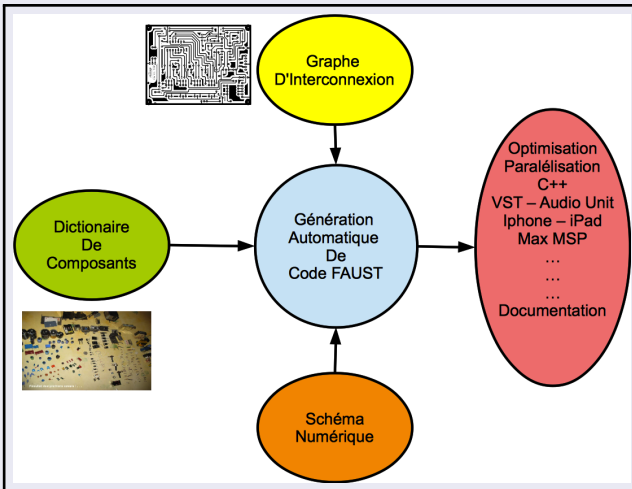
- $P_c = 0$  car  $J = -J^T$  (échanges de puissance entre composants stockants)
- $Q \geq 0$  car  $R \geq 0$  (puissance dissipée)
- $P_{\text{ext}}$  est la puissance apportée via les entrées-sorties (ports externes)

**Passivité du système:** à sources externes éteintes ( $u=0$ ), l'énergie est constante (cas conservatif  $Q=0$ ) ou décroissante (cas dissipatif  $Q>0$ ).

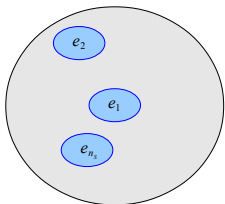
# Approche par composants élémentaires

Exemple d'application:

(Thèse d'A. Falaize)

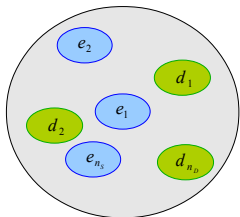


# Un système physique est fait de...



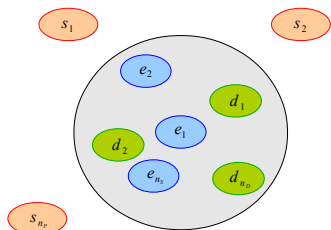
- Composants stockants:  
énergie  $E = \sum_{n=1}^N e_n \geq 0$

# Un système physique est fait de...



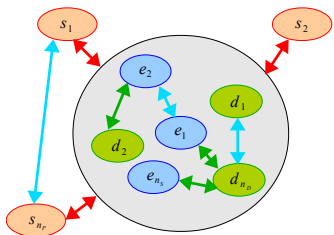
- Composants stockants:  
énergie  $E = \sum_{n=1}^N e_n \geq 0$
- Composants dissipatifs:  
puissance dissipée  
 $Q = \sum_{m=1}^M d_m \geq 0$

# Un système physique est fait de...



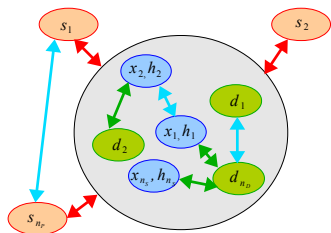
- **Composants stockants:**  
énergie  $E = \sum_{n=1}^N e_n \geq 0$
- **Composants dissipatifs:**  
puissance dissipée  
 $Q = \sum_{m=1}^M d_m \geq 0$
- **Sources externes:**  
puissance externe  $P_{\text{ext}} = \sum_{p=1}^P s_p$

Un SHP est une représentation d'état d'un système physiques structurée selon les échanges de puissance.



- **Composants stockants:**  
énergie  $E = \sum_{n=1}^N e_n \geq 0$
- **Composants dissipatifs:**  
puissance dissipée  
 $Q = \sum_{m=1}^M d_m \geq 0$
- **Sources externes:**  
puissance externe  $P_{\text{ext}} = \sum_{p=1}^P s_p$

Un SHP est un système physique à représentation d'état structurée selon les échanges de puissance.

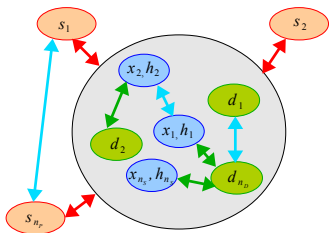


- Énergie stockée (*cas monovariant*)  

$$E = H(\mathbf{x}) = \sum_{n=1}^N H_n(x_n)$$

$$H_n: \mathcal{C}^1 \text{ définie positive}$$

Un SHP est un système physique à représentation d'état structurée selon les échanges de puissance.

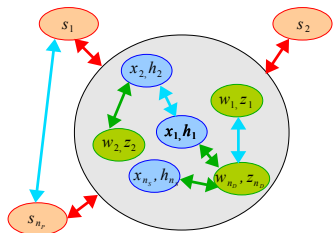


- Énergie stockée (*cas monovariant*)  

$$E = H(\mathbf{x}) = \sum_{n=1}^N H_n(x_n)$$
- Variation d'énergie:  $\langle \text{effort, flux} \rangle$   

$$\frac{dE}{dt} = \nabla H(\mathbf{x})^T \frac{d\mathbf{x}}{dt} = \sum_{n=1}^N \frac{dH_n}{dx_n} \frac{dx_n}{dt}$$

Un SHP est un système physique à représentation d'état structurée selon les échanges de puissance.



- Énergie stockée (*cas monovariant*)  

$$E = H(\mathbf{x}) = \sum_{n=1}^N H_n(x_n)$$

- Variation d'énergie:  $\langle \text{effort, flux} \rangle$   

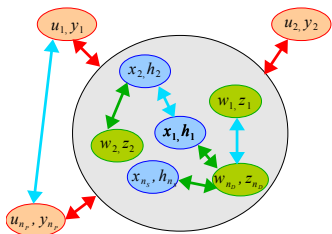
$$\frac{dE}{dt} = \nabla H(\mathbf{x})^T \frac{d\mathbf{x}}{dt} = \sum_{n=1}^N \frac{dH_n}{dx_n} \frac{dx_n}{dt}$$

- Puissance dissipée:  $\langle \text{effort, flux} \rangle$   

$$Q = \mathbf{z}(\mathbf{w})^T \mathbf{w} = \sum_{m=1}^M z_m(w_m) w_m$$

( $\frac{dz_m}{dw_m} > 0$  et  $z_m(0) = 0$ )

Un SHP est un système physique à représentation d'état structurée selon les échanges de puissance.



- Énergie stockée (cas monovariant)  

$$E = H(\mathbf{x}) = \sum_{n=1}^N H_n(x_n)$$

- Variation d'énergie: ⟨effort, flux⟩  

$$\frac{dE}{dt} = \nabla H(\mathbf{x})^T \frac{d\mathbf{x}}{dt} = \sum_{n=1}^N \frac{dH_n}{dx_n} \frac{dx_n}{dt}$$

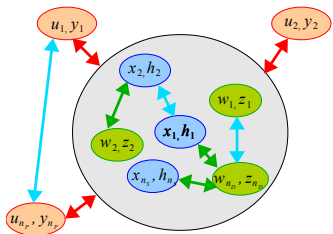
- Puissance dissipée: ⟨effort, flux⟩  

$$Q = \mathbf{z}(\mathbf{w})^T \mathbf{w} = \sum_{m=1}^M z_m(w_m) w_m$$

- Puissance externe: ⟨effort, flux⟩  

$$P_{\text{ext}} = \mathbf{u}^T \mathbf{y} = \sum_{p=1}^P u_p y_p$$

Un SHP est un système physique à représentation d'état structurée selon les échanges de puissance.



Le bilan de puissance

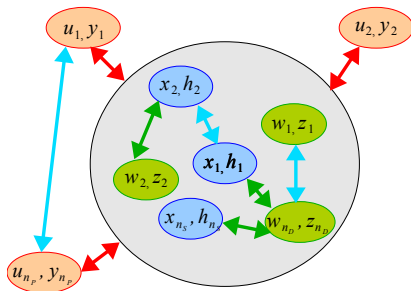
$$\frac{dE}{dt} = -Q + P_{\text{ext}}$$

se réécrit

$$\nabla H(x)^T \frac{dx}{dt} = -z(w)^T \cdot w + u^T \cdot y$$

## Formulation algébro-différentielle des SHP:

$$\begin{pmatrix} \frac{dx}{dt} \\ \mathbf{w} \\ -\mathbf{y} \end{pmatrix} = S \cdot \begin{pmatrix} \frac{\nabla \mathcal{H}(\mathbf{x})}{\mathbf{z}(\mathbf{w})} \\ \mathbf{u} \end{pmatrix} \quad \text{avec } S = -S^T \text{ anti-symétrique}$$



$$S = \begin{pmatrix} \mathbf{J}_x & -\mathbf{K} & \mathbf{G}_x \\ \mathbf{K}^T & \mathbf{J}_w & \mathbf{G}_w \\ -\mathbf{G}_x^T & -\mathbf{G}_w^T & \mathbf{J}_y \end{pmatrix}$$

## Formulation algébro-différentielle des SHP:

$$\mathbf{B} = \begin{pmatrix} \frac{dx}{dt} \\ \mathbf{w} \\ -\mathbf{y} \end{pmatrix} = S \cdot \begin{pmatrix} \nabla H(\mathbf{x}) \\ \mathbf{z}(\mathbf{w}) \\ \mathbf{u} \end{pmatrix} = \mathbf{S} \cdot \mathbf{A},$$

avec  $S = -S^T$  anti-symétrique

## Encode le bilan de puissance:

$$\begin{aligned} \frac{dE}{dt} + \underbrace{\mathbf{z}(\mathbf{w})^T \cdot \mathbf{w}}_{Q \geq 0} - \mathbf{u}^T \cdot \mathbf{y} &= \mathbf{A}^T \cdot \mathbf{B} \\ &= \mathbf{A}^T \cdot \mathbf{S} \cdot \mathbf{A} = 0 \\ &\text{car } \mathbf{S}^T = -\mathbf{S} \end{aligned}$$

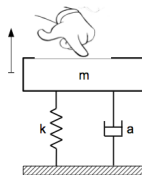
Retour à la formulation 1:  $\frac{dx}{dt} = (J - R)\nabla H(x) + Gu \dots$

... en éliminant  $w$  par résolution algébrique  $w = W(\nabla H(x), u)$

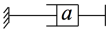
# Exemple: Oscillateur mécanique amorti excité par une force

Formulation algébro-différentielle des SHP:

$$\mathbf{B} = \begin{pmatrix} \frac{dx}{dt} \\ \mathbf{w} \\ -\mathbf{y} \end{pmatrix} = S \cdot \begin{pmatrix} \nabla H(\mathbf{x}) \\ \mathbf{z}(\mathbf{w}) \\ \mathbf{u} \end{pmatrix} = \mathbf{S} \cdot \mathbf{A}$$



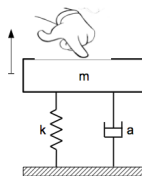
Les composants (convention récepteur)

Composant	Variable	Fonction	Flux	Effort	↑↓
	$x_1 = \text{qté de mvt}$	$H_1(x_1) = \frac{x_1^2}{2m}$	$v_1 = \frac{dH_1}{dx_1}$	$F_1 = \frac{dx_1}{dt}$	↑
	$x_2 = \text{élongation}$	$H_2(x_2) = \frac{k}{2}x_2^2$	$v_2 = \frac{dx_2}{dt}$	$F_2 = \frac{dH_2}{dx_2}$	↑
	$w_3 = \text{vitesse}$	$z_3(w_3) = a \cdot w_3$	$v_3 = w$	$F_3 = z_3(w_3)$	↑
Excitation	∅	∅	$v_4 = -y_4$	$F_4 = u_4$	↓

## Exemple: Oscillateur mécanique amorti excité par une force

Que vaut **A** ?

$$\begin{pmatrix} \frac{dx}{dt} \\ \mathbf{w} \\ -\mathbf{y} \end{pmatrix} = S \cdot \begin{pmatrix} \nabla H(\mathbf{x}) \\ \mathbf{z}(\mathbf{w}) \\ \mathbf{u} \end{pmatrix}$$

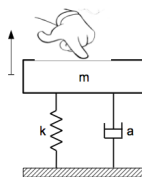


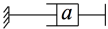
Composant	Variable	Fonction	Flux	Effort	↑↓
	$x_1 = \text{qté de mvt}$	$H_1(x_1) = \frac{x_1^2}{2m}$	$v_1 = \frac{dH_1}{dx_1}$	$F_1 = \frac{dx_1}{dt}$	↑
	$x_2 = \text{élongation}$	$H_2(x_2) = \frac{k}{2}x_2^2$	$v_2 = \frac{dx_2}{dt}$	$F_2 = \frac{dH_2}{dx_2}$	↑
	$w_3 = \text{vitesse}$	$z_3(w_3) = a \cdot w_3$	$v_3 = w$	$F_3 = z_3(w_3)$	↑
Excitation	⊙	⊙	$v_4 = -y_4$	$F_4 = u_4$	↓

## Exemple: Oscillateur mécanique amorti excité par une force

Que vaut **B** ?

$$\begin{pmatrix} \frac{dx}{dt} \\ \mathbf{w} \\ -\mathbf{y} \end{pmatrix} = S \cdot \begin{pmatrix} v_1 \\ F_2 \\ F_3 \\ F_4 \end{pmatrix}$$



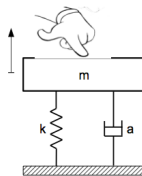
Composant	Variable	Fonction	Flux	Effort	↑↓
$m$	$x_1 = \text{qté de mvt}$	$H_1(x_1) = \frac{x_1^2}{2m}$	$v_1 = \frac{dH_1}{dx_1}$	$F_1 = \frac{dx_1}{dt}$	↑
	$x_2 = \text{élongation}$	$H_2(x_2) = \frac{k}{2}x_2^2$	$v_2 = \frac{dx_2}{dt}$	$F_2 = \frac{dH_2}{dx_2}$	↑
	$w_3 = \text{vitesse}$	$z_3(w_3) = a \cdot w_3$	$v_3 = w$	$F_3 = z_3(w_3)$	↑
Excitation	⊙	⊙	$v_4 = -y_4$	$F_4 = u_4$	↓

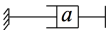
## Exemple: Oscillateur mécanique amorti excité par une force

Que vaut **S** ?

- 1 Equilibre des forces (avec RFD)

$$\begin{pmatrix} F_1 \\ v_2 \\ v_3 \\ -v_4 \end{pmatrix} = \begin{pmatrix} 0 & -1 & -1 & +1 \\ \cdot & \cdot & \cdot & \cdot \\ \cdot & \cdot & \cdot & \cdot \\ \cdot & \cdot & \cdot & \cdot \end{pmatrix} \cdot \begin{pmatrix} v_1 \\ F_2 \\ F_3 \\ F_4 \end{pmatrix}$$



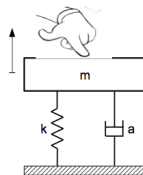
Composant	Variable	Fonction	Flux	Effort	↑↓
$m$	$x_1 = \text{qté de mvt}$	$H_1(x_1) = \frac{x_1^2}{2m}$	$v_1 = \frac{dH_1}{dx_1}$	$F_1 = \frac{dx_1}{dt}$	↑
	$x_2 = \text{élongation}$	$H_2(x_2) = \frac{k}{2}x_2^2$	$v_2 = \frac{dx_2}{dt}$	$F_2 = \frac{dH_2}{dx_2}$	↑
	$w_3 = \text{vitesse}$	$z_3(w_3) = a \cdot w_3$	$v_3 = w$	$F_3 = z_3(w_3)$	↑
Excitation	⊙	⊙	$v_4 = -v_4$	$F_4 = u_4$	↓

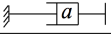
# Exemple: Oscillateur mécanique amorti excité par une force

Que vaut **S** ?

- 1 Equilibre des forces (avec RFD)
- 2 Egalité des vitesses (avec conventions)

$$\begin{pmatrix} F_1 \\ v_2 \\ v_3 \\ -v_4 \end{pmatrix} = \begin{pmatrix} 0 & -1 & -1 & +1 \\ +1 & 0 & 0 & 0 \\ +1 & 0 & 0 & 0 \\ -1 & 0 & 0 & 0 \end{pmatrix} \cdot \begin{pmatrix} v_1 \\ F_2 \\ F_3 \\ F_4 \end{pmatrix}$$



Composant	Variable	Fonction	Flux	Effort	↑↓
	$x_1 = \text{qté de mvt}$	$H_1(x_1) = \frac{x_1^2}{2m}$	$v_1 = \frac{dH_1}{dx_1}$	$F_1 = \frac{dx_1}{dt}$	↑
	$x_2 = \text{élongation}$	$H_2(x_2) = \frac{k}{2}x_2^2$	$v_2 = \frac{dx_2}{dt}$	$F_2 = \frac{dH_2}{dx_2}$	↑
	$w_3 = \text{vitesse}$	$z_3(w_3) = a \cdot w_3$	$v_3 = w$	$F_3 = z_3(w_3)$	↑
Excitation	⊙	⊙	$v_4 = -v_4$	$F_4 = u_4$	↓

## Quelques variations

Système Hamiltonien (autonome, non amorti)

$$\begin{pmatrix} F_1 \\ v_2 \\ \cdot \\ \cdot \end{pmatrix} = \begin{pmatrix} 0 & -1 & | & \cdot & \cdot \\ +1 & 0 & | & \cdot & \cdot \\ \hline \cdot & \cdot & | & \cdot & \cdot \\ \hline \cdot & \cdot & | & \cdot & \cdot \end{pmatrix} \cdot \begin{pmatrix} v_1 \\ F_2 \\ \cdot \\ \cdot \end{pmatrix}$$

"Masse+Amortissement+Excitation"

$$\begin{pmatrix} F_1 \\ \cdot \\ v_3 \\ -v_4 \end{pmatrix} = \begin{pmatrix} 0 & \cdot & | & -1 & +1 \\ \cdot & \cdot & | & \cdot & \cdot \\ \hline +1 & \cdot & | & 0 & 0 \\ \hline -1 & \cdot & | & 0 & 0 \end{pmatrix} \cdot \begin{pmatrix} v_1 \\ \cdot \\ F_3 \\ F_4 \end{pmatrix}$$

"Masse+Excitation"

$$\begin{pmatrix} F_1 \\ \cdot \\ \cdot \\ -v_4 \end{pmatrix} = \begin{pmatrix} 0 & \cdot & | & \cdot & +1 \\ \cdot & \cdot & | & \cdot & \cdot \\ \hline \cdot & \cdot & | & \cdot & \cdot \\ \hline -1 & \cdot & | & \cdot & 0 \end{pmatrix} \cdot \begin{pmatrix} v_1 \\ \cdot \\ \cdot \\ F_4 \end{pmatrix}$$

## En résumé

## Formulation 1

$$\begin{cases} \frac{dx}{dt} &= (J - R) \nabla H(x) + Gu \\ y &= G^T \nabla H(x) \end{cases}$$

## Formulation 2

$$\begin{pmatrix} \frac{dx}{dt} \\ w \\ -y \end{pmatrix} = S \cdot \begin{pmatrix} \nabla H(x) \\ z(w) \\ u \end{pmatrix}$$

Cas du "Masse-amortisseur-ressort":  $H(x) = \frac{x_1^2}{2m} + \frac{kx_2^2}{2}$ ,  $z(w) = aw$

$$S = \begin{bmatrix} 0 & -1 & -1 & +1 \\ +1 & 0 & 0 & 0 \\ +1 & 0 & 0 & 0 \\ -1 & 0 & 0 & 0 \end{bmatrix}, \quad J = \begin{bmatrix} 0 & -1 \\ +1 & 0 \end{bmatrix}, \quad R = \begin{bmatrix} 1/a & 0 \\ 0 & 0 \end{bmatrix}, \quad G = \begin{bmatrix} 1 \\ 0 \end{bmatrix}$$

### 3. Schéma Numérique

# Schéma numérique

## Approche

- **Cas classique**  $\frac{dx}{dt} = f(x)$ : efforts sur l'approx. de  $\frac{d}{dt}$  et l'exploitation de  $f$
- **Cas SHP**: préserver le bilan de puissance en temps discret

$$\frac{dE}{dt} = \nabla H(x)^T \frac{dx}{dt} = \underbrace{\nabla H(x)^T J(x) \nabla H(x)}_{P_c=0} - \underbrace{\nabla H(x)^T R(x) \nabla H(x)}_{Q \geq 0} + \underbrace{y^T u}_{P_{\text{ext}}}$$

Comment? (1) règle de dérivation en chaîne pour  $E = H \circ x$ ; (2) exploiter  $J$  et  $R$

(1) Choix:  $\frac{E[k+1]-E[k]}{\delta T} = \sum_{n=1}^N \frac{H_n(x_n[k+1]) - H_n(x_n[k])}{x_n[k+1] - x_n[k]} \cdot \frac{x_n[k+1] - x_n[k]}{\delta T}$

(2) Substitutions:  $\frac{dx}{dt} \rightarrow \frac{\delta x[k]}{\delta T} = \frac{x[k+1] - x[k]}{\delta T}$  et  $\nabla H(x) \rightarrow \nabla_d H(x[k], \delta x[k])$  avec

$$[\nabla_d H(x, \delta x)]_n = \frac{H_n(x_n + \delta x_n) - H_n(x_n)}{\delta x_n} \text{ si } \delta x_n \neq 0 \text{ et } H'_n(x_n) \text{ sinon}$$

Cette méthode répartit les efforts sur deux approximations:

1. celle des applications différentielles;
2. celle du champ de vecteur  $f = (J - R)\nabla H \rightarrow f_d = (J - R)\nabla_d H$ .

# Schéma numérique

Formulation 1:  $x[k+1] = x[k] + \delta x[k]$  avec à résoudre

$$\begin{cases} \frac{\delta x[k]}{\delta t} = (J - R) \nabla_d H(x[k], \delta x[k]) + Gu[k] \\ y[k] = G^T \nabla_d H(x[k], \delta x[k]) \end{cases}$$

Cas des systèmes linéaires

$$H(x) = \frac{1}{2} x^T W x \text{ avec } W = W^T > 0$$

Point milieu:  $\nabla_d H(x[k], \delta x[k]) = W \left( x[k] + \frac{\delta x[k]}{2} \right) = \nabla H \left( \frac{x[k] + x[k+1]}{2} \right)$

On peut montrer que:

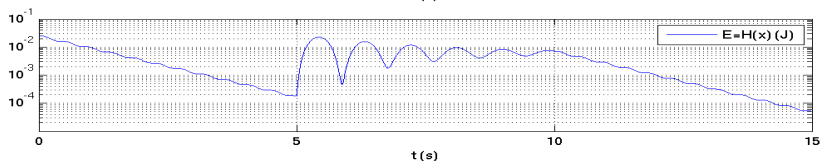
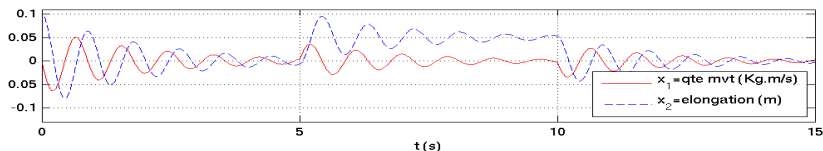
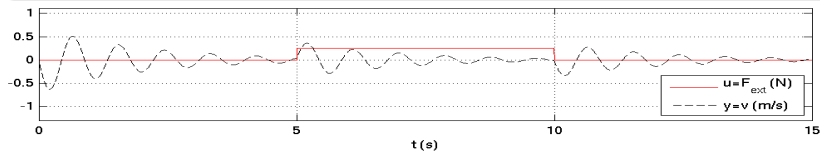
(Aoues, 2014) & (Lopes et al., 2015)

- (A) Gradient discret: encore définissable pour les  $H$  non mono-variants
- (L) Consistance: ordre 1 en général et 2 pour  $J$  et  $R$  indépendants de  $(x, w)$ ,
- (L) Ordre 2 atteignable (raffinement de type Runge-Kutta),
- (L) Solution explicitable par chgt. de var., si  $H$  est convexe

## 4. Résultats

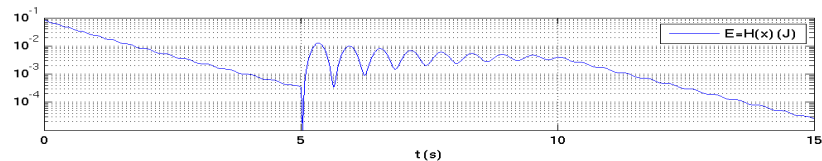
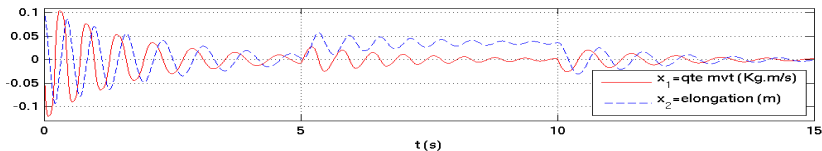
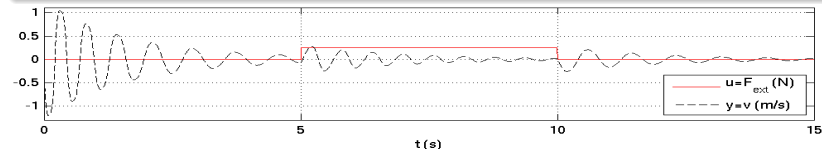
# Simulation 1: masse-amortisseur-ressort

- **Paramètres:**  $m=100$  g,  $k=3$  kN/m,  $a=0.1$  N.s/m et  $\delta t=5$  ms
- **Conditions Initiales:**  $x_0 = [mv_0=0, l_0=10 \text{ cm}]^T$
- **Excitation:**  $F_{\text{ext}}(t) = F_{\text{max}} \mathbf{1}_{[5s,10s]}(t)$  avec  $F_{\text{max}} = kl_0/2 = 0.25$  N



## Simulation 2: idem pour un ressort raidissant

- **Energie potentielle:**  $H_2^{\text{NL}}(x_2) = k L^2 [\cosh(x_2/L) - 1]$  ( $\sim k x_2^2/2$ )
- **Loi constitutive:**  $F_2 = (H_2^{\text{NL}})'(x_2) = k L \sinh(x_2/L)$  ( $\sim k x_2$ )
- **Elongation critique:**  $L = \ell_0/4 = 25 \text{ mm}$



# Remarques conclusives

## SHP: résumés des points clefs

- **Composants:** a. stockage d'énergie ( $H$ : déf. pos.,  $\nabla H$ : lois constitutives), b. dissipation ( $Q = w^T z(w) \geq 0$ ,  $z$ : lois const.), c. extérieurs (ports)
- **2. Interconnexion:** réseau d'échanges de puissance encodé par l'anti-symétrie de  $S$  (concept général: structure de Dirac)
- **3. Simulation:** versions discrètes de  $(d/dt, \nabla)$  avec règle de dérivation en chaîne de  $H \circ x$  pour que  $S$  exprime encore les échanges de puissance

Rq: compatible avec les méthodes variationnelles, mais ne sont PAS requis

(i) pb conservatif, (ii)  $\dim(\mathbb{X})$  paire, (iii)  $J$  ou  $S$  canoniques (ex:  $H(v) = \frac{1}{2}mv^2$ )

Littérature abondante (cf. [1] A. J. van der Schaft and D. Jeltsema, Port-Hamiltonian Systems Theory: An Introductory Overview, 2014)

- Problèmes multi-physiques de dimension finie et infinie (EDP, op. pseudo-différentiels, etc) [10, 11]
- Inclusion de des phénomènes hystérétiques [8] ou à modèle entropique [9].
- Réduction de modèle, théorie du contrôle, etc

# Exemple en dim. infinie: Poutre d'Euler-Bernoulli amortie

## 1. Modèle linéaire adimensionné ( $t \in \mathbb{T} = \mathbb{R}^+$ , $z \in [0, 1]$ , $b_0, b_1 \geq 0$ )

- **EDP:**  $\partial_t^2 q + \underbrace{(b_0 + b_1 \partial_z^4)}_C \partial_t q + \underbrace{\partial_z^4}_K q = f_{\text{ext}}$  ( $q$ : déflexion,  $f_{\text{ext}}$ : force linéique)
- **CI:** nulles; **CF** ( $z \in \{0, 1\}$ ): extrémités fixes ( $q=0$ ) sans moment ( $\partial_z^2 q=0$ )

## 2. Cadre fonctionnel

- **Espace Hilbertien des configurations:**  $q(t) \in \mathbb{H} = L^2(0, 1)$
- **Opérateur  $K$ :** non borné, fermé, dense, auto-adjoint et positif sur  $\mathbb{H}$ , de domaine  $\mathcal{D}(K) = \{q \in H^4(0, 1) \text{ t.q. } q(0) = q(1) = 0, q''(0) = q''(1) = 0\}$
- **Opérateur  $C$ :** positif, défini sur  $\mathcal{D}(C) = \mathcal{D}(K)$
- **Force distribuée:** trajectoire bornée sur  $\mathbb{H}$  ( $f_{\text{ext}} \in \mathcal{L}^\infty(\mathbb{T}, \mathbb{H})$ )

## 3. Opérateur $K^{1/2}$ , espace d'état $\mathbb{X}$ et fonctionnelle d'énergie $H$

- $K^{1/2} (\equiv \partial_z^2)$ : unique racine carrée positive de  $K$  sur  $\mathbb{H}^{1/2} = \mathcal{D}(K^{1/2})$  équipé de  $\|\cdot\|_{\mathbb{H}^{1/2}} = \|K^{1/2} \cdot\|_{\mathbb{H}}$
- $x(t) \in \mathbb{X} = \mathbb{H}^{1/2} \times \mathbb{H}$ :  $x = [q, \partial_t q]^T$  de norme  $\|x\|_{\mathbb{X}} = (\|x_1\|_{\mathbb{H}^{1/2}}^2 + \|x_2\|_{\mathbb{H}}^2)^{1/2}$
- **Energie:**  $H(x) = \frac{1}{2} \|x\|_{\mathbb{X}}^2 = \int_0^1 \frac{1}{2} (K^{1/2} x_1)^2 dz + \int_0^1 \frac{1}{2} x_2^2 dz$

# Poutre amortie: représentation en SHP

- **Energie:**  $x = [q, \partial_t q]^T$ ,  $E = H(x) = \frac{\langle x, x \rangle}{2}$  où  $\langle x, \xi \rangle = \int_0^1 (\partial_z^2 x_1 \partial_z^2 \xi_1 + x_2 \xi_2) dz$
- **Dissipation:**  $w = \partial_t q$ ,  $z(w) = Cw = (b_0 + b_1 \partial_z^4)w$
- **Entrée/Sortie:**  $u = f_{\text{ext}}$ ,  $y = \partial_t q$

## SHP et bilan de puissance ( $\delta_x$ : dérivée variationnelle)

- **Forme 1:** 
$$\begin{cases} \partial_t x = [J - R] \delta_x H(x) + Gu \\ y = G^* \delta_x H(x) \end{cases} \quad \text{où } \delta_x H(x) = \begin{bmatrix} K^{\frac{1}{2}} x_1 \\ x_2 \end{bmatrix} = \begin{bmatrix} \partial_x^2 q \\ \partial_t q \end{bmatrix}$$

avec  $J = \begin{bmatrix} 0 & I \\ -K^{\frac{1}{2}} & 0 \end{bmatrix}$ ,  $R = \begin{bmatrix} 0 & 0 \\ 0 & C \end{bmatrix}$ ,  $G = \begin{bmatrix} 0 \\ I \end{bmatrix}$ ,  $G^* = \begin{bmatrix} 0 & I \end{bmatrix}$ .

- **Bilan:**  $dE/dt = \langle x, \partial_t x \rangle = \underbrace{\langle x, J \delta_x H(x) \rangle}_0 - \underbrace{\langle x, R \delta_x H(x) \rangle}_Q + \underbrace{\langle x, Gu \rangle}_{P_{\text{ext}}}$

où  $Q = \int_0^1 [b_0 x_2^2 + b_1 (\partial_z^2 x_2)^2] dz \geq 0$  et  $P_{\text{ext}} = \langle y, u \rangle_{L^2(0,1)}$

- **Forme 2:** 
$$\begin{bmatrix} \partial_t x \\ w \\ -y \end{bmatrix} = S \begin{bmatrix} \delta_x H(x) \\ z(w) \\ u \end{bmatrix} \quad \text{où } S = \begin{bmatrix} J & -G & G \\ G^* & 0 & 0 \\ -G^* & 0 & 0 \end{bmatrix}$$

# Poutre amortie: simulation

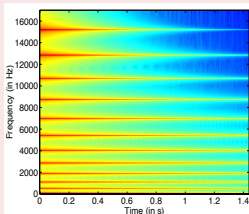
## Méthode

- **1. Réduction d'ordre:** décomposition sur les modes propres et troncature sur les  $P$  premiers modes
- **Propriétés:** positivité des op.  $K$ ,  $K^{1/2}$ ,  $C$  et  $R$  projetés; anti-symétrie pour  $J$  et  $S$ .
- **2. Schéma numérique:** gradient discret sur le système de dim.  $N = 2P$

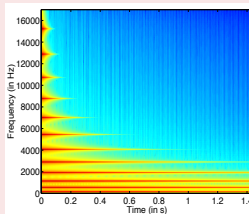
## Spectrogramme de simulations (redimensionnées)

 $b_0 \sim 10^{-2}$ 

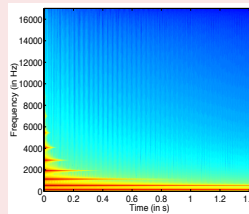
Son "métal" ( $b_1 \sim 10^{-6}$ )



"verre" ( $b_1 \sim 10^{-5}$ )



"bois" ( $b_1 \sim 10^{-4}$ )



# Quelques références



A. J. van der Schaft and D. Jeltsema.  
Port-Hamiltonian Systems Theory: An Introductory Overview.  
 NOW Publishing Inc., 2014.



A. Falaize and T. Hélie.  
 Simulation of an analog circuit of a wah pedal: a port-hamiltonian approach.  
 In 135th convention of the Audio Engineering Society, pages 1–9, 2013.



A. Falaize, N. Lopes, T. Hélie, D. Matignon, and B. Maschke.  
 Energy-balanced models for acoustic and audio systems: a port-Hamiltonian approach.  
 In Unfold Mechanics for Sounds and Music, pages 1–8, 2014.



A. J. van der Schaft and B. Maschke.  
 Port-hamiltonian systems on graphs.  
SIAM J. on Control and Optimization, 51(2):906–937, 2013.



T. Usciati.  
 Analyseur de circuit électronique analogique audio, et génération automatique de code pour la simulation temps réel.  
 Master's thesis, M2 ATIAM, UPMC, 2012.



S. Aoues.  
Schémas d'intégration dédiés à l'étude, l'analyse et la synthèse dans le formalisme Hamiltonien à ports.  
 PhD thesis, INSA, 2014.



N. Lopes, T. Hélie, and A. Falaize.  
 Explicit second-order accurate method for the passive guaranteed simulation of port-hamiltonian systems.  
 In IFAC-LHMNLC, pages 1–6.



D. Habineza, M. Rakotondrabe, and Y. Le Gorrec.  
 Bouc-Wen modeling and feedforward control of multivariable hysteresis in piezoelectric systems: Application to a 3-dof piezotube scanner.  
IEEE-TCST, 2015.



B. Maschke H. Ramirez and D. Sbarbaro.  
 Modelling and control of multi-energy systems: An irreversible port-hamiltonian approach.  
European Journal of Control, 19(6):513–520, 2013.



A. J. van der Schaft and B. Maschke.  
 Hamiltonian formulation of distributed-parameter systems with boundary energy flow.  
J. of Geometry and Physics, 42(1):166–194, 2002.



J. Villegas.  
A Port-Hamiltonian Approach to Distributed Parameter Systems.  
 PhD thesis, Univ. Twente, 2007.



T. Hélie and D. Matignon.  
 Nonlinear damping models for linear conservative mechanical systems with preserved eigenspaces: a port-hamiltonian formulation.  
 In IFAC-LHMNLC, volume 5, pages 1–6.



L. Lefèvre N. M. T. Vu and B. Maschke.  
 Port-hamiltonian formulation for systems of conservation laws: application to plasma dynamics in tokamak reactors.  
 In IFAC-LHMNLC, pages 108–113, 2012.